

FP04-0010-00

1/27

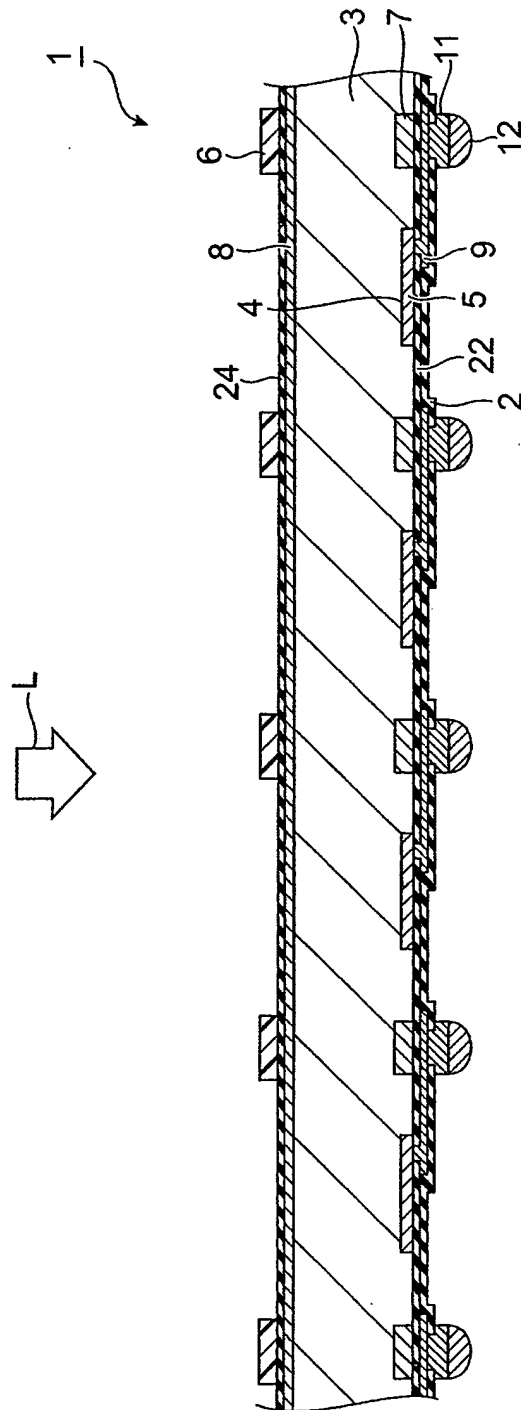
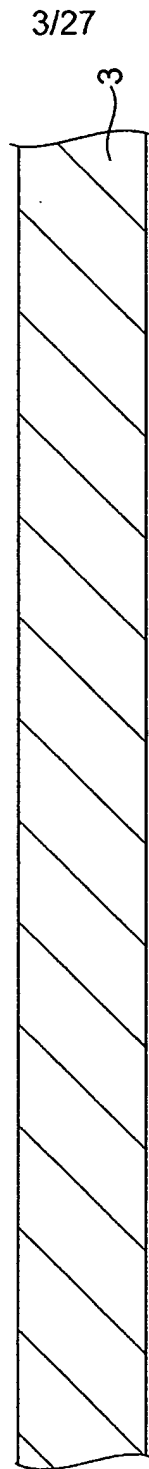


Fig. 1

Fig.3



FP04-0010-00

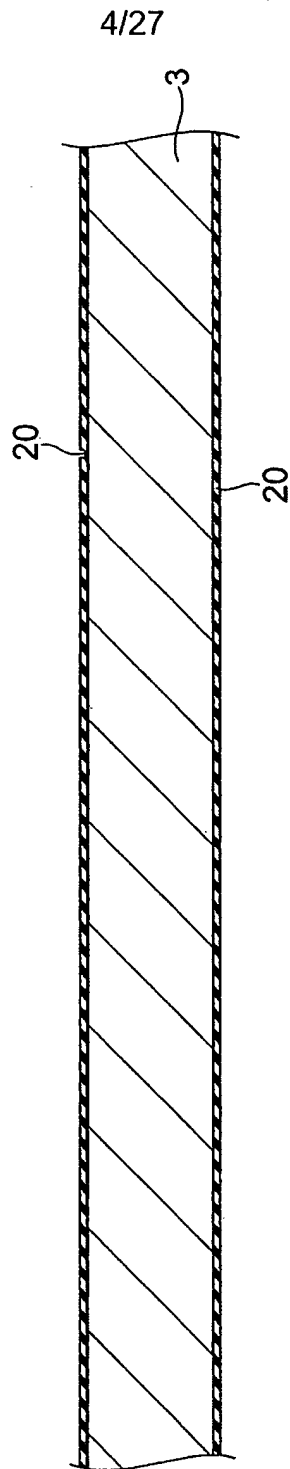
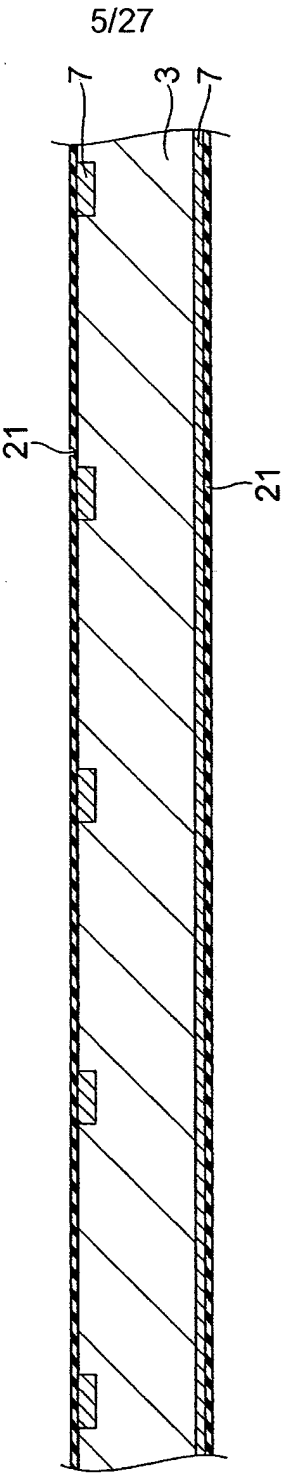


Fig.4

FP04-0010-00

Fig.5



FP04-0010-00

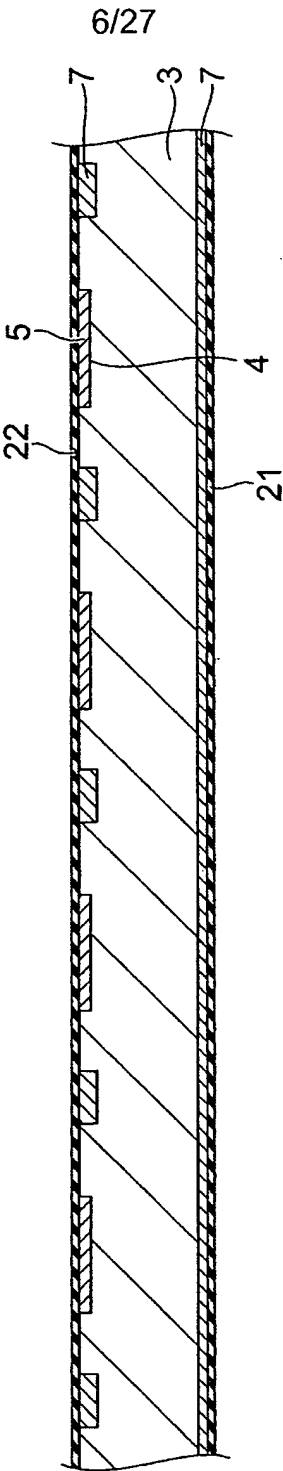


Fig.6

7/27

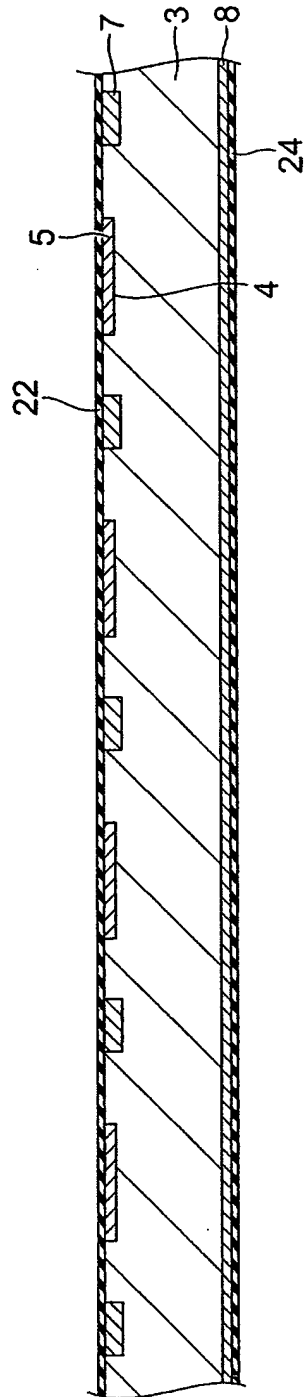
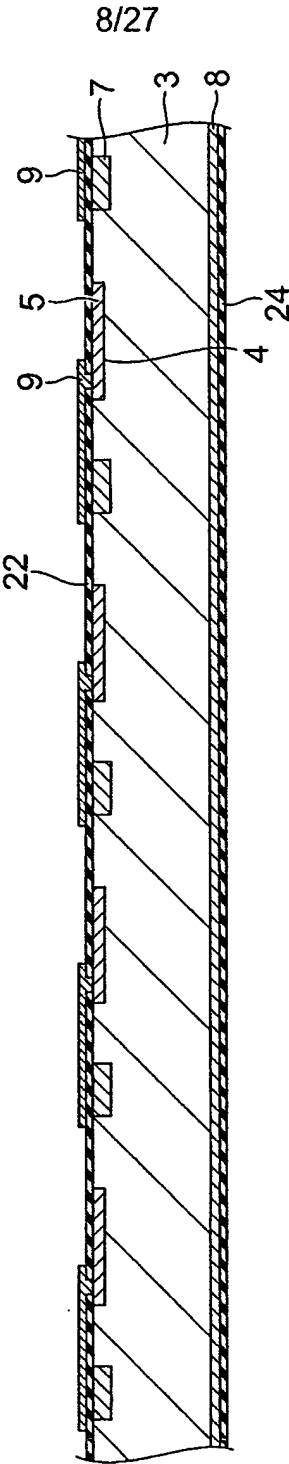


Fig.7

Fig.8



9/27

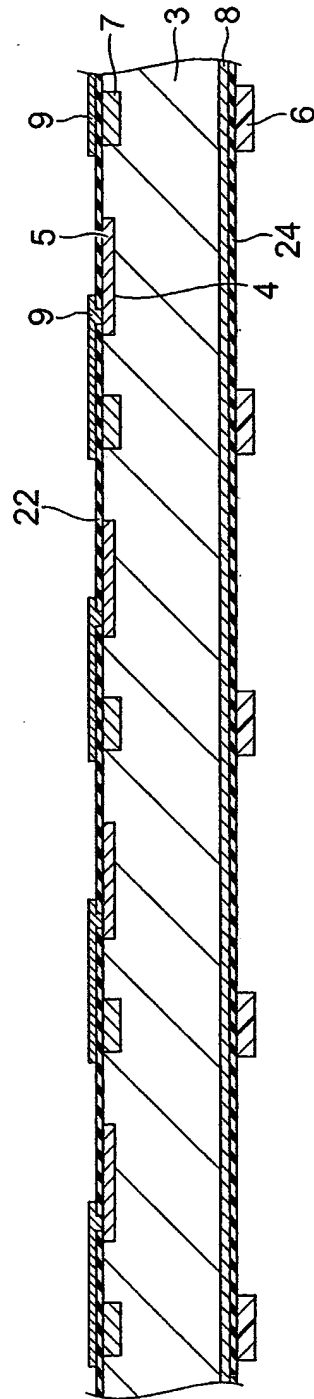


Fig.9

FP04-0010-00

10/27

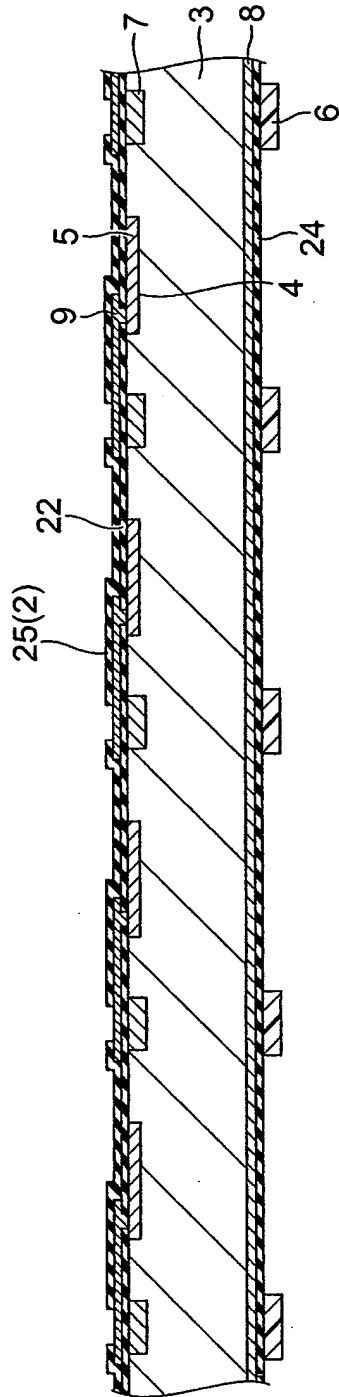


Fig. 10

FP04-0010-00

11/27

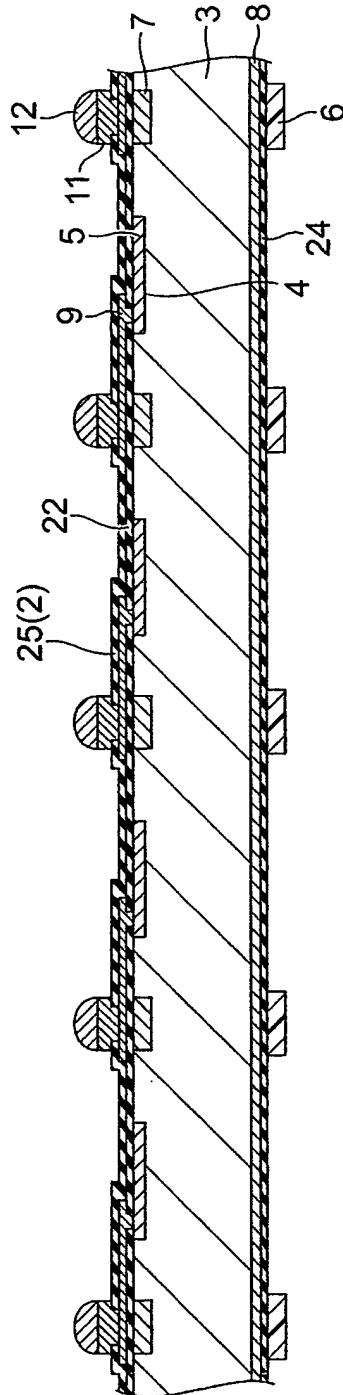


Fig.11

12/27

Fig.12A

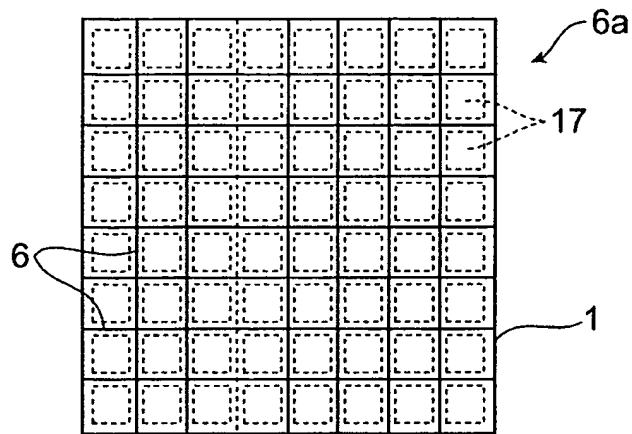


Fig.12B

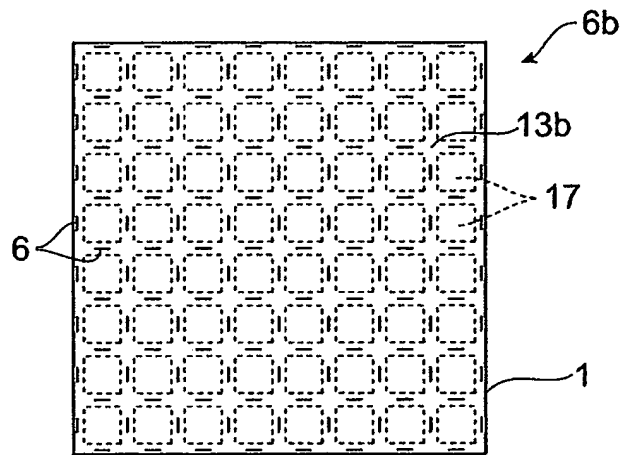


Fig.12C

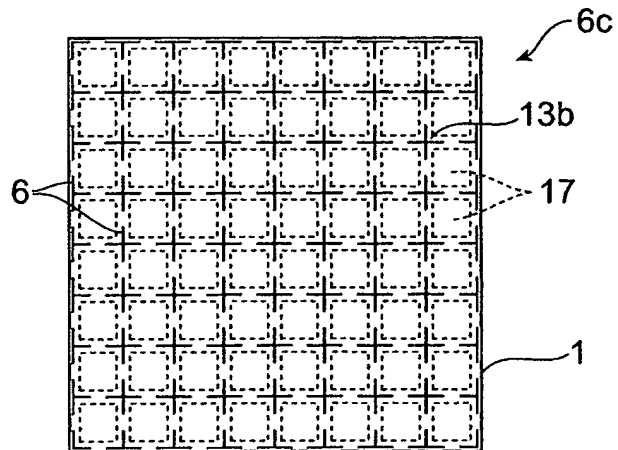


Fig.13A

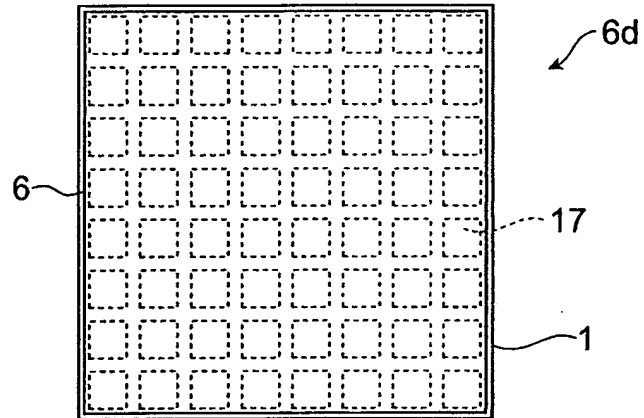


Fig.13B

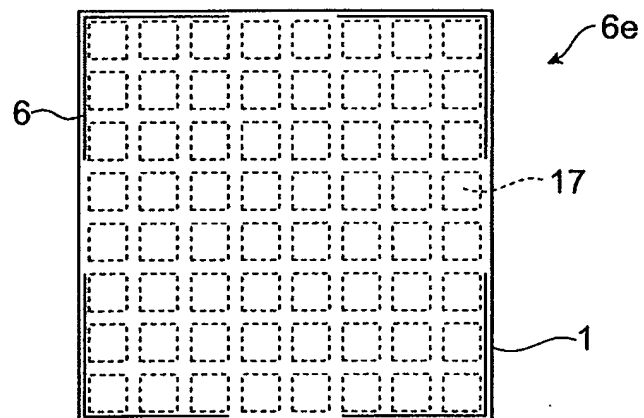


Fig.13C

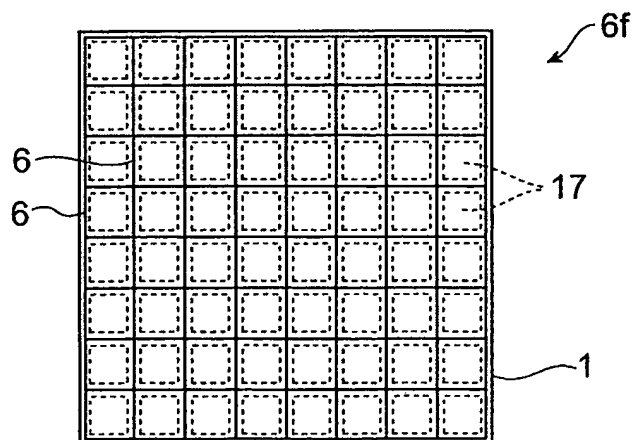


Fig.14

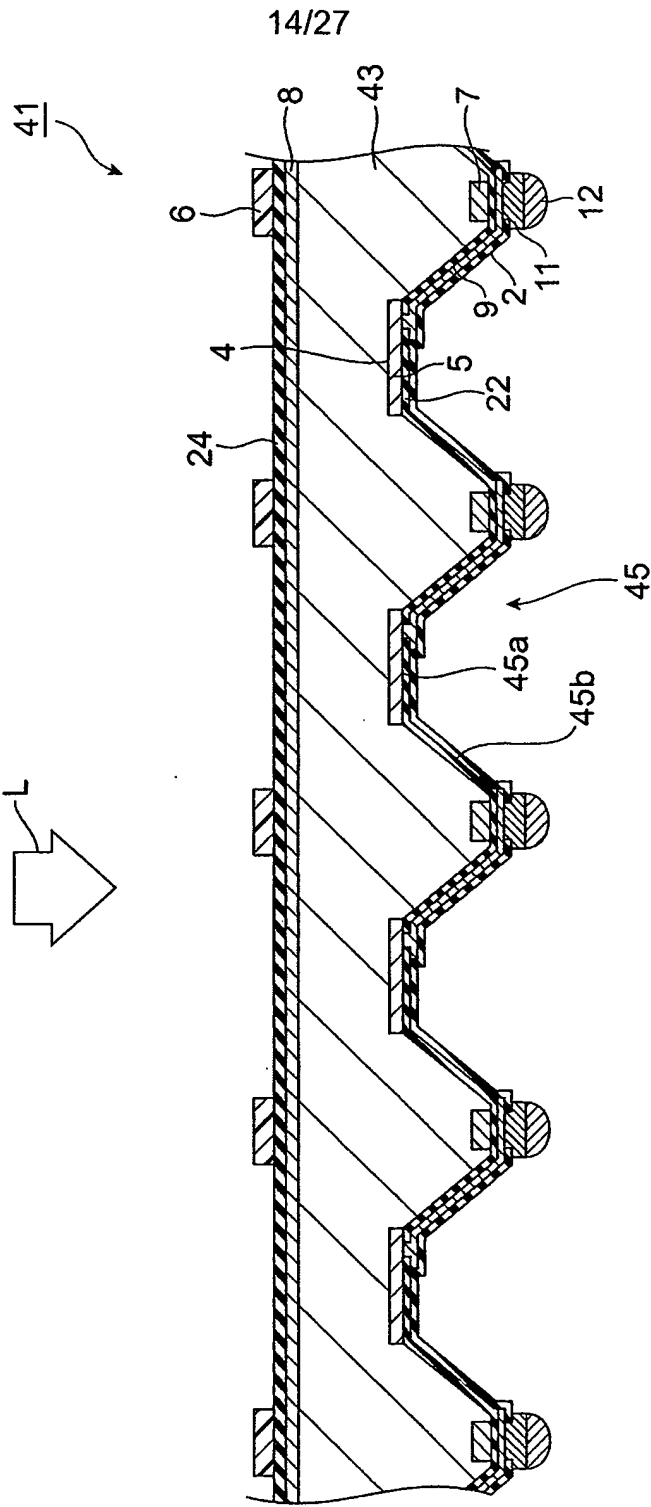
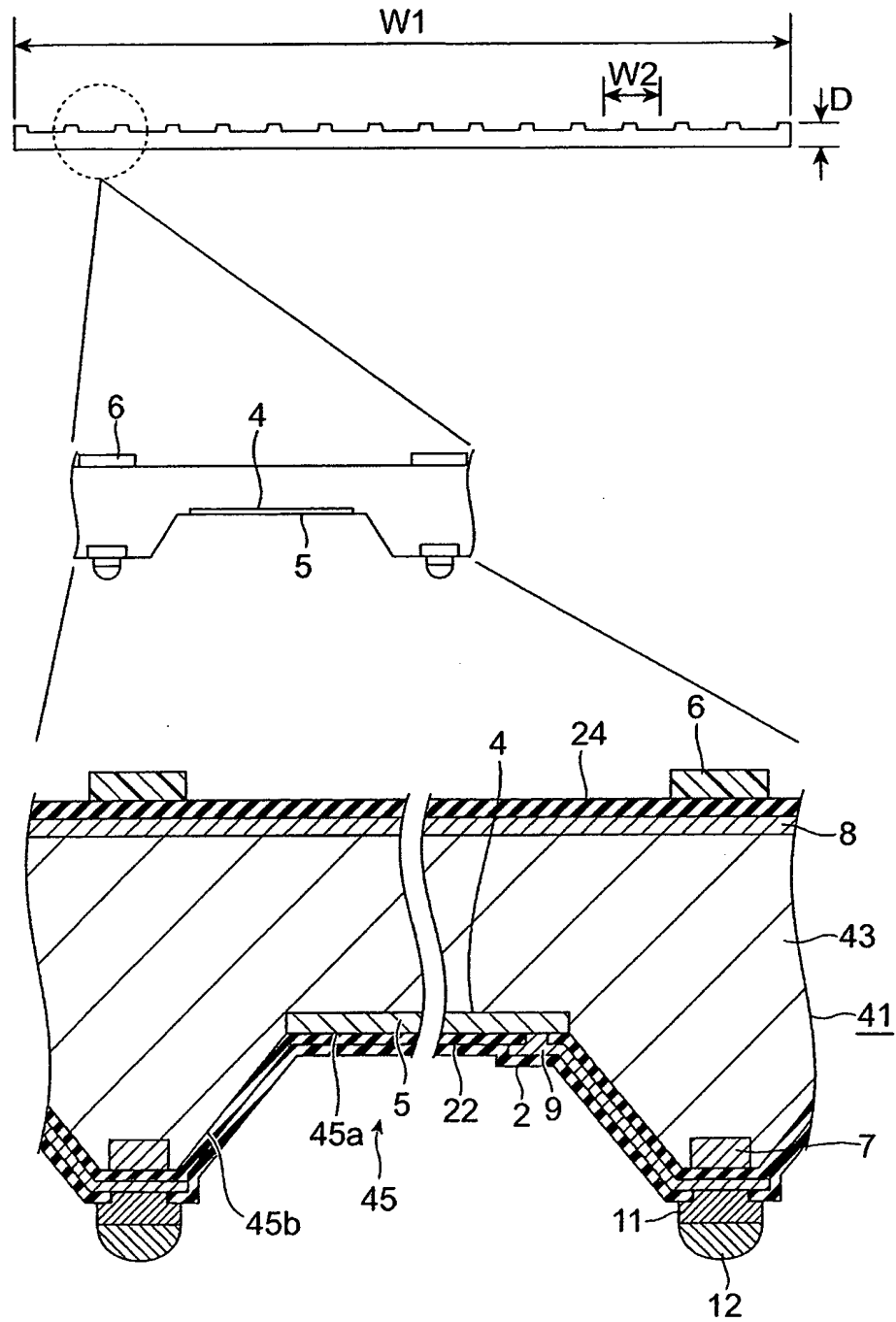


Fig.15

16/27

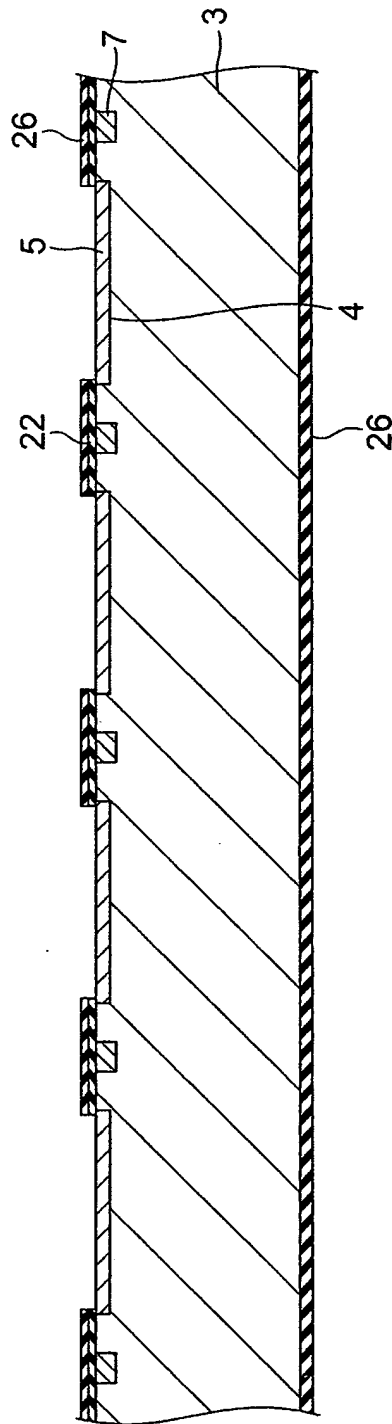


Fig.16

FP04-0010-00

Fig.17

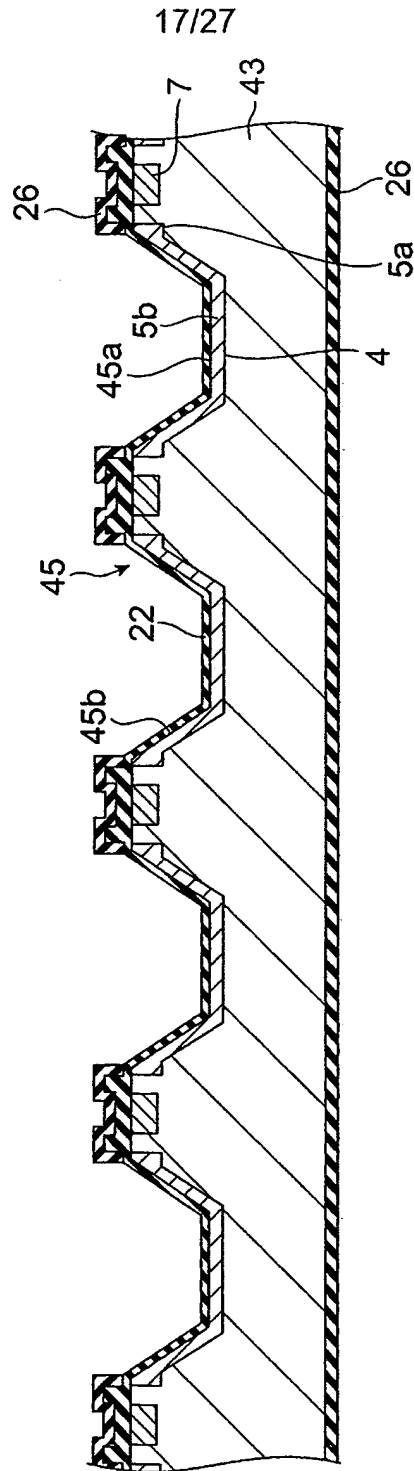


Fig.18

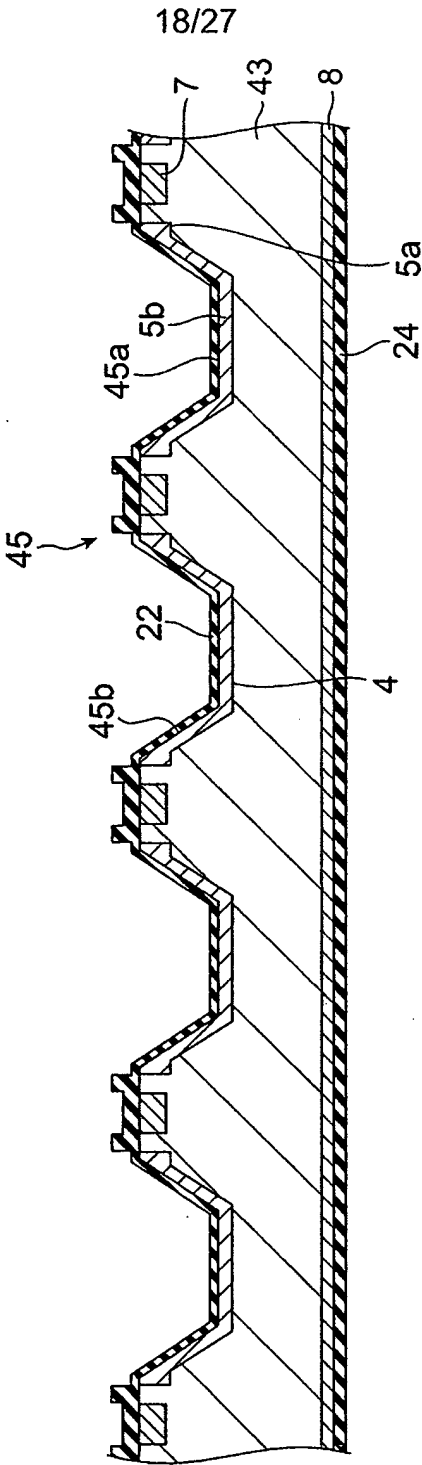
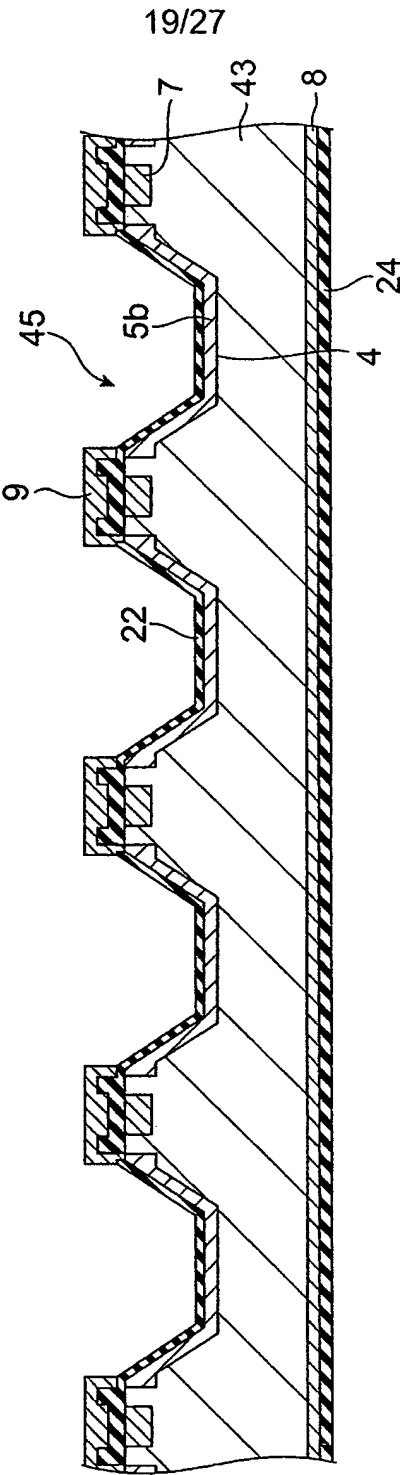


Fig.19



FP04-0010-00

Fig. 20

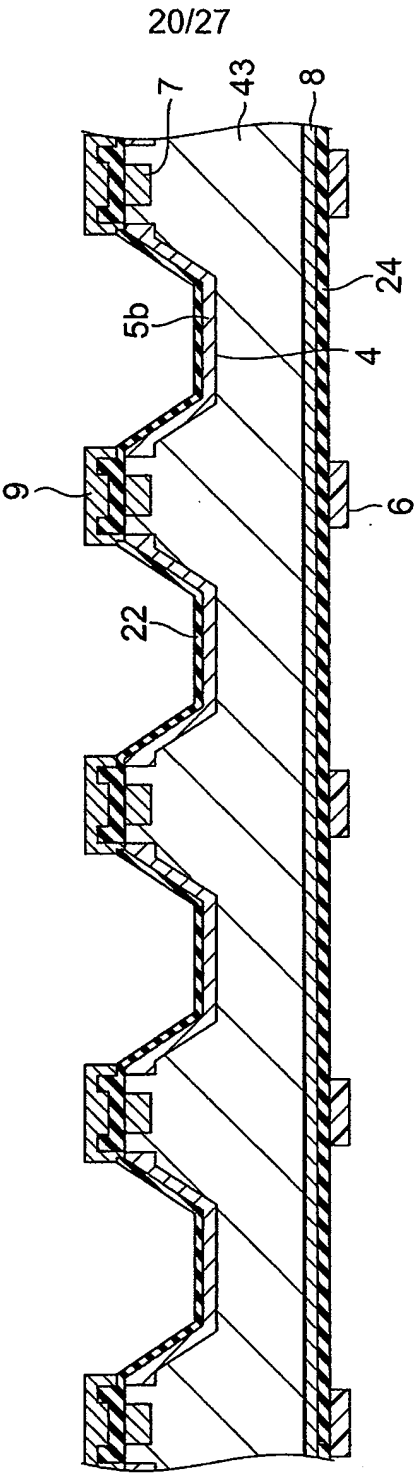
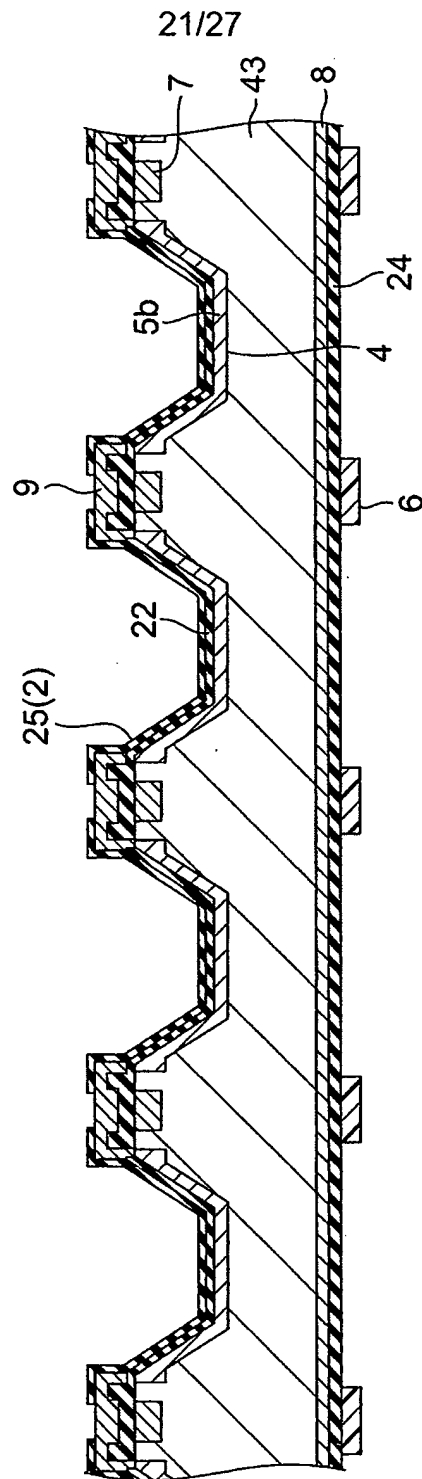


Fig. 21



FP04-0010-00

Fig. 22

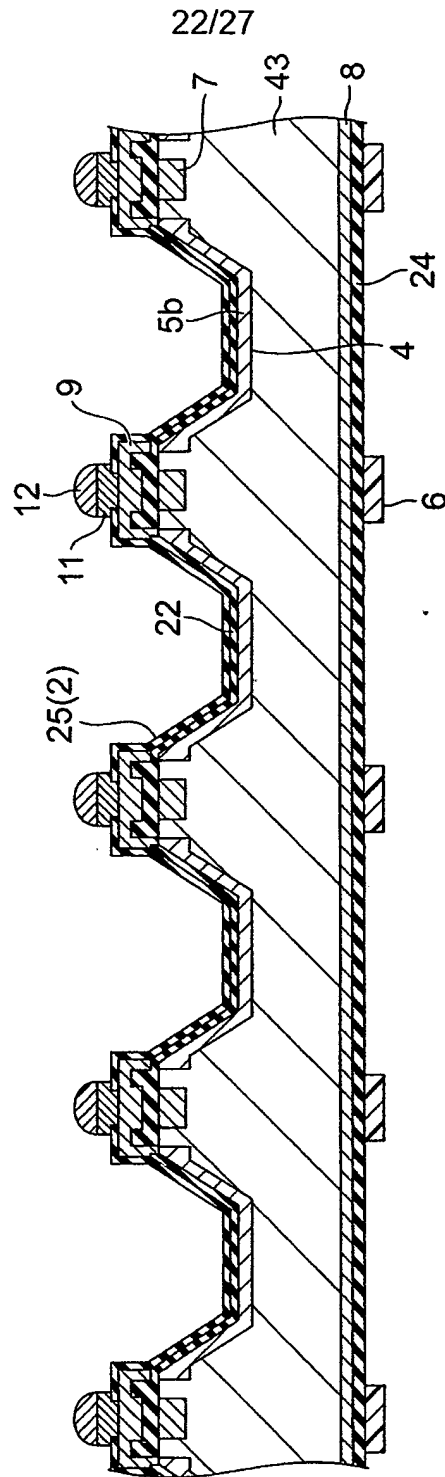
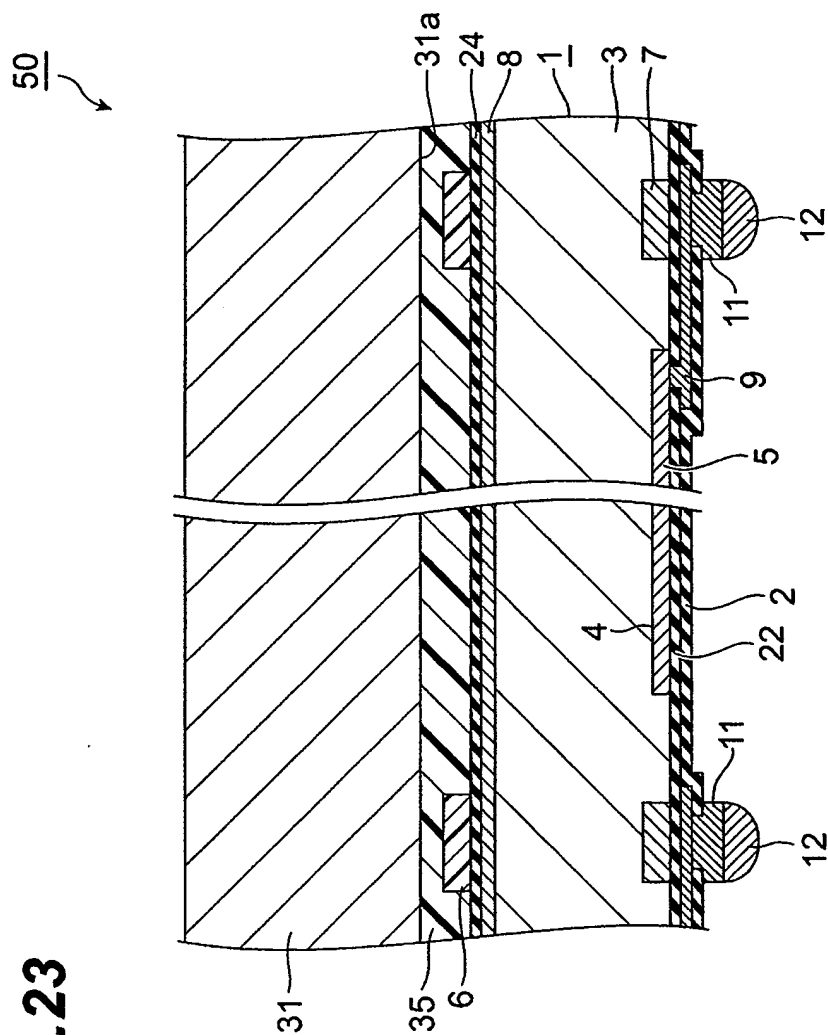


Fig. 23



55

Fig. 24

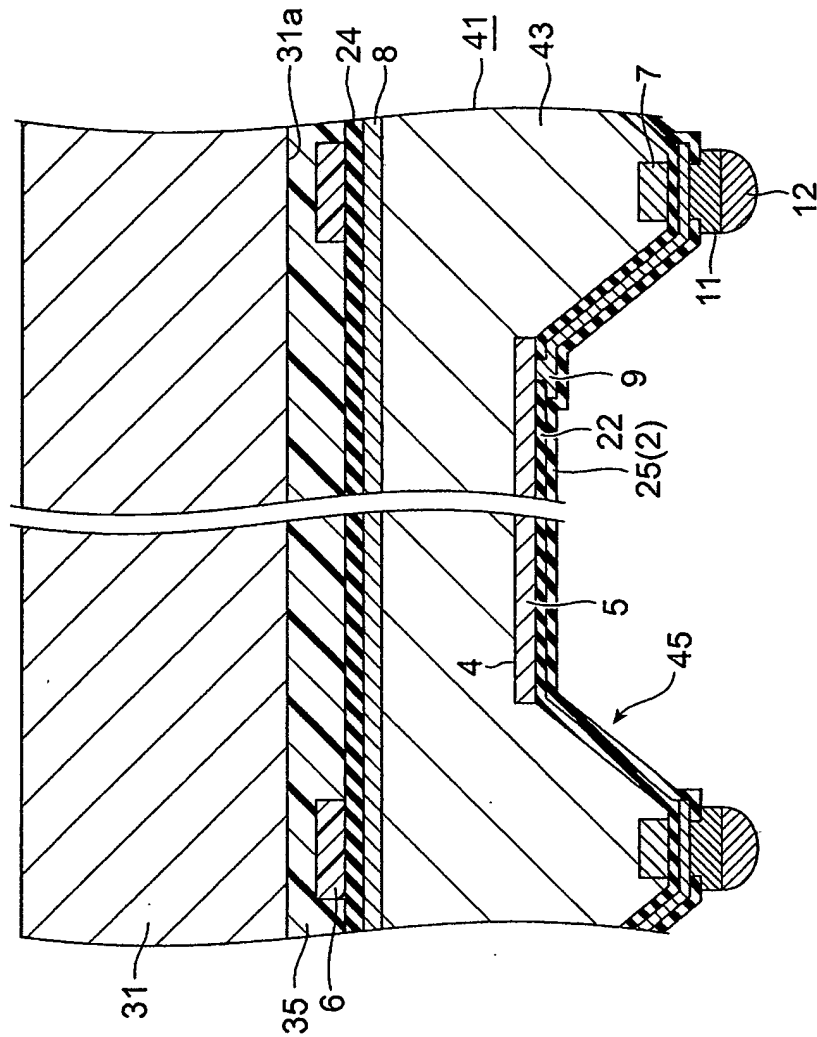


Fig.25B

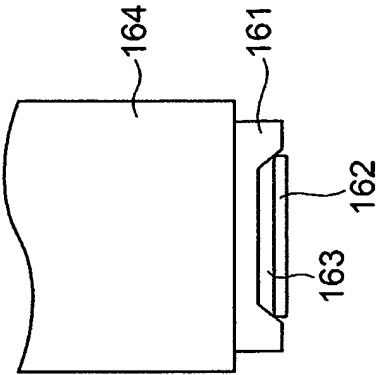


Fig.25A

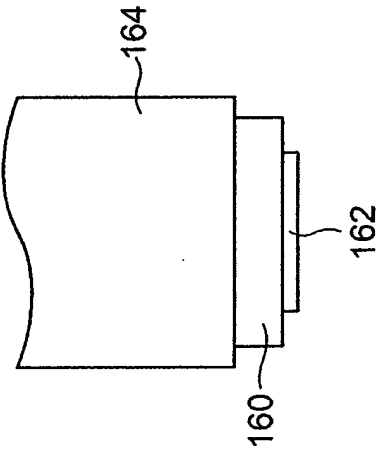


Fig. 26

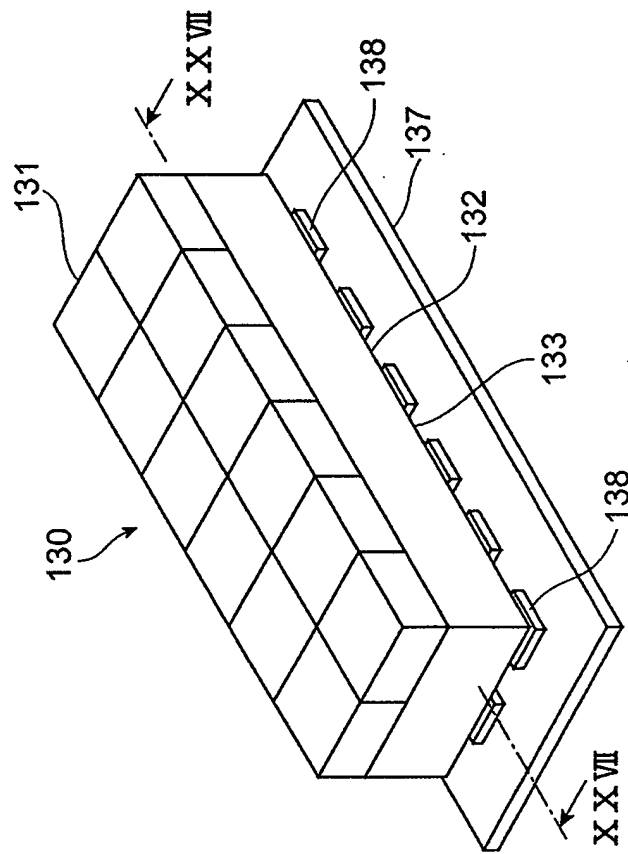


Fig.27

